

Elektrische Eigenschaften Electrical properties

Höchstzulässige Werte Maximum rated values

Periodische Vorwärts-Spitzensperrspannung Vorwärts-Stoßspitzenspannung	repetitive peak forward off-state voltage non repetitive peak forward off-state voltage	$t_{vj} = -40^{\circ}\text{C} \dots t_{vj\text{max}}$ $t_{vj} = -40^{\circ}\text{C} \dots t_{vj\text{max}}$	$V_{\text{DRM}} = 1800, 2000 \text{ V}$ $V_{\text{DSM}} = V_{\text{DRM}}$
Periodische Rückwärts-Spitzensperrspannung Periodische Rückwärts-Spitzensperrspannung nach der Kommutierung	repetitive peak reverse voltage repetitive peak reverse voltage after commutation	$t_{vj} = -40^{\circ}\text{C} \dots t_{vj\text{max}}$ $t_{vj} = -40^{\circ}\text{C} \dots t_{vj\text{max}}, t_p = 1 \text{ ps}$	$V_{\text{RRM}} = 20 \text{ V}$ $V_{\text{RRM(C)}} = 25 \text{ V}$
Durchlaßstrom-Grenzeffektivwert Dauergrenzstrom	RMS on-state current average on-state current	$t_c = 85^{\circ}\text{C}$ $t_c = 54^{\circ}\text{C}$	$I_{\text{TRMSM}} = 2200 \text{ A}$ $I_{\text{TAVM}} = 930 \text{ A}$ 1400 A
Stoßstrom-Grenzwert	surge current	$t_{vj} = 25^{\circ}\text{C}, t_p = 10 \text{ ms}$ $t_{vj} = t_{vj\text{max}}, t_p = 10 \text{ ms}$	$I_{\text{TSM}} = 19 \text{ kA}$ 16 kA
Grenzlastintegral	$\int i^2 dt$ -value	$t_i = 25^{\circ}\text{C}, t_p = 10 \text{ ms}$ $t_{vj} = t_{vj\text{max}}, t_p = 10 \text{ ms}$	$\int i^2 dt = 1800 \text{ kA}^2\text{s}$ $1280 \text{ kA}^2\text{s}$
Kritische Stromsteilheit	critical rate of rise of on-state current	$v_D \leq 87\% V_{\text{DRM}}, f_o = 50 \text{ Hz}$ $V_L = 10 \text{ V}, i_{\text{GM}} = 4 \text{ A}, di_G/dt = 8 \text{ A}/\mu\text{s}$	$(di/dt)_{\text{cr}} = 300 \text{ A}/\mu\text{s}$
Kritische Spannungssteilheit	critical rate of rise of off-state voltage	$t_{vj} = t_{vj\text{max}}, v_D = 67\% V_{\text{DRM}}$ 5. Kennbuchstabe/5th letter F	$(dv/dt)_{\text{cr}} = 1000 \text{ V}/\mu\text{s}$

Charakteristische Werte Characteristic values

Durchlaßspannung Schleusenspannung Ersatzwiderstand Zündstrom Zündspannung Nicht zündender Steuerstrom Nicht zündende Steuerspannung Haltestrom Einraststrom	on-state voltage threshold voltage slope resistance gate trigger current gate trigger voltage gate non-trigger current gate non-trigger voltage holding current latching current	$t_{vj} = t_{vj\text{max}}, i_T = 4200 \text{ A}$ $t_{vj} = t_{vj\text{max}}$ $t_{vj} = t_{vj\text{max}}$ $t_{vj} = 25^{\circ}\text{C}, v_D = 12 \text{ V}$ $t_{vj} = 25^{\circ}\text{C}, v_D = 12 \text{ V}$ $t_{vj} = t_{vj\text{max}}, v_D = 12 \text{ V}$ $t_{vj} = t_{vj\text{max}}, v_D = 0,5 V_{\text{DRM}}$ $t_{vj} = 25^{\circ}\text{C}, v_D = 12 \text{ V}, R_A = 4,7 \Omega$ $t_{vj} = 25^{\circ}\text{C}, v_D = 12 \text{ V}, R_{\text{GK}} \geq 10 \Omega$ $i_{\text{GM}} = 4 \text{ A}, di_G/dt = 8 \text{ A}/\mu\text{s}, t_g = 20 \mu\text{s}$	$v_T = \text{max. } 2,7 \text{ V}$ $V_{\text{T(TO)}} = 1,35 \text{ V}$ $r_T = 0,3 \text{ m}\Omega$ $i_{\text{GT}} = \text{max. } 300 \text{ mA}$ $V_{\text{GT}} = \text{max. } 2,5 \text{ V}$ $i_{\text{GD}} = \text{max. } 40 \text{ mA}$ $V_{\text{GD}} = \text{max. } 0,3 \text{ V}$ $i_H = \text{max. } 400 \text{ mA}$ $i_L = \text{max. } 2 \text{ A}$
Vorwärts- u. Rückwärts-Sperrstrom Zündverzug Freiwerdezeit	forward off-state and reverse currents gate controlled delay time circuit commutated turn-off time	$t_{vj} = t_{vj\text{max}}, v_D = V_{\text{DRM}}, v_R = V_{\text{RRM}}$ $t_{vj} = 25^{\circ}\text{C}, i_{\text{GM}} = 4 \text{ A}, di_G/dt = 8 \text{ A}/\mu\text{s}$ siehe Techn. Erl./see Techn. Inf.	$i_D = \text{max. } 180 \text{ mA}$ $i_R = \text{max. } 1000 \text{ mA}$ $t_{\text{gd}} = \text{max. } 1,5 \mu\text{s}$ $t_q \text{ F: } \text{max. } 25 \mu\text{s}$ $t_q \text{ G: } \text{max. } 30 \mu\text{s}^1)$

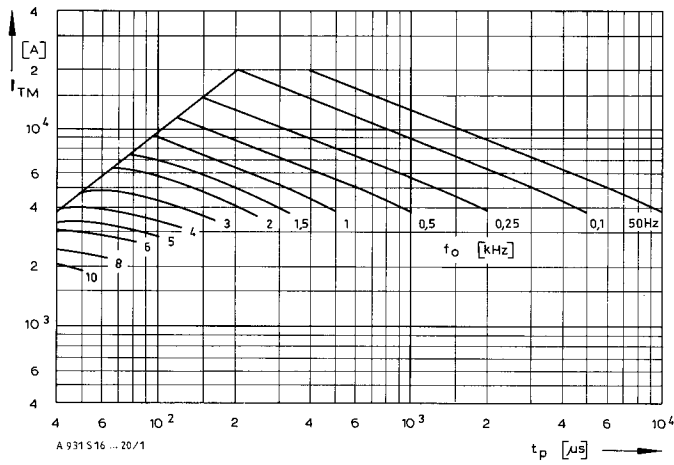
thermische Eigenschaften Thermal properties

Innerer Wärmewiderstand für beidseitige Kühlung	thermal resistance, junction to case for two-sided cooling	$\Theta = 180^{\circ}\text{el, sin}$ DC	$R_{\text{thJC}} = \text{max. } 0,0212^{\circ}\text{C}/\text{W}$ $\text{max. } 0,0200^{\circ}\text{C}/\text{W}$
Übergangswärmewiderstand	thermal resistance, case to heatsink	beidseitigtwo-sided einseitigtone-sided	$R_{\text{thCK}} = \text{max. } 0,005^{\circ}\text{C}/\text{W}$ $\text{max. } 0,010^{\circ}\text{C}/\text{W}$
Höchstzul. Sperrschichttemperatur Betriebstemperatur Lagertemperatur	max. junction temperature Operating temperature Storage temperature		$t_{vj\text{max}} = 125^{\circ}\text{C}$ $t_{\text{c op}} = -40 \dots + 125^{\circ}\text{C}$ $t_{\text{stg}} = -40 \dots + 140^{\circ}\text{C}$

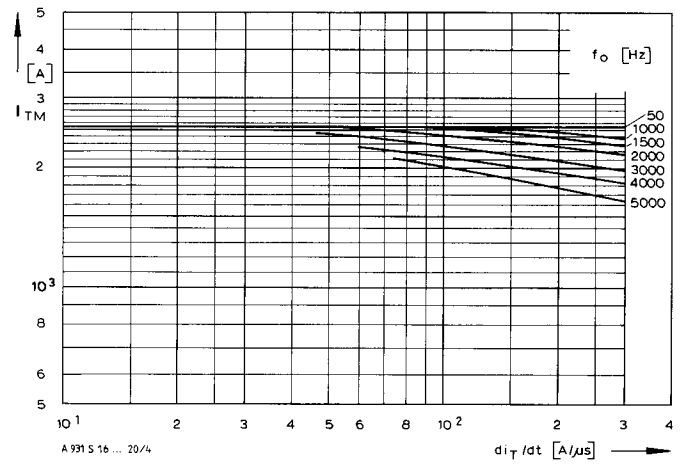
Mechanische Eigenschaften Mechanical properties

Si-Elemente mit Druckkontakt Anpreßkraft Gewicht Kriechstrecke Feuchtklasse Schwingfestigkeit Maßbild	Si-pellets with pressure contact Clamping force weight Creepage distance humidity classification Vibration resistance outline	DIN 40040 $f = 50 \text{ Hz}$	$F = 13,5 \dots 24 \text{ kN}$ $G = \text{typ. } 550 \text{ g}$ 25 mm C 50 m/s^2 Seitelpage 155
---	---	----------------------------------	---

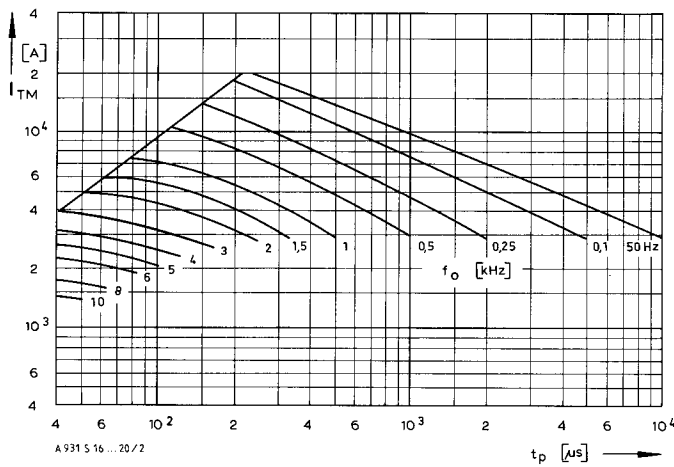
1) mit antiparalleler Diode/with inverse paralleled diode



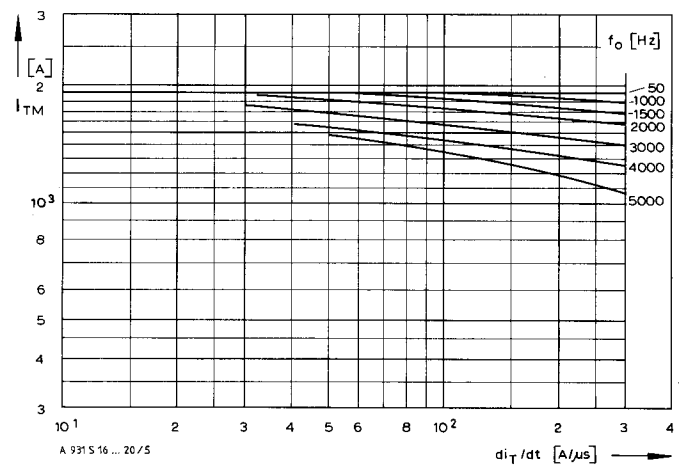
Bild/Fig. 1



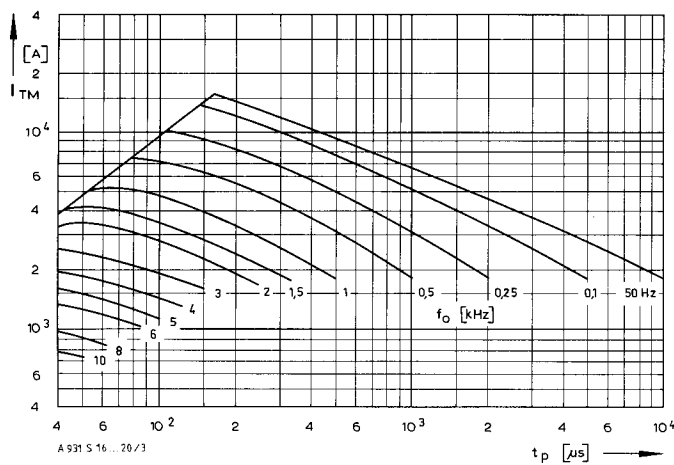
Bild/Fig. 4



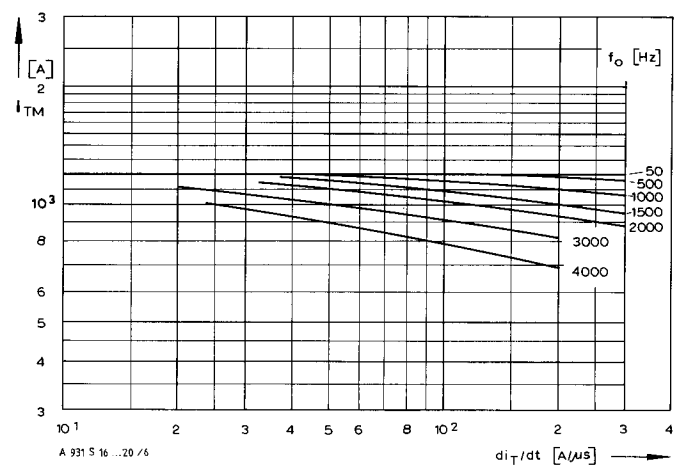
Bild/Fig. 2



Bild/Fig. 5



Bild/Fig. 3



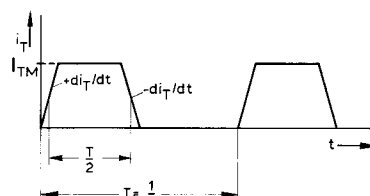
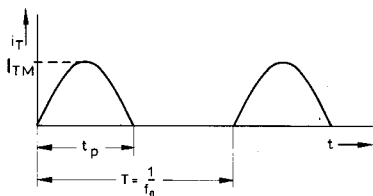
Bild/Fig. 6

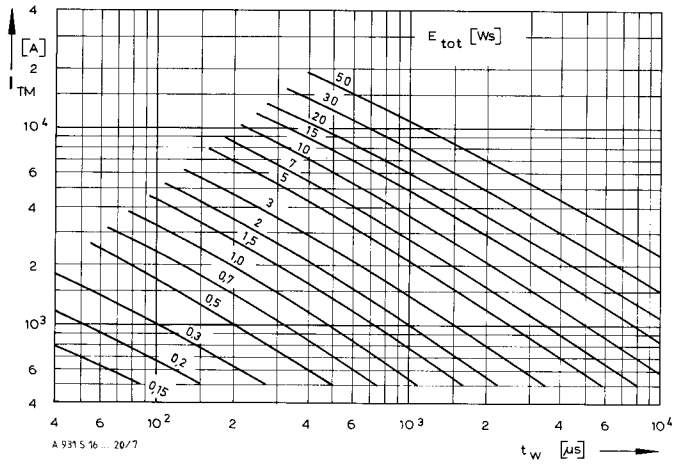
Bild/Fig. 1, 2, 3
 Steuergenerator/pulse generator:
 $i_G = 4 \text{ A}$, $di_G/dt = 8 \text{ A}/\mu\text{s}$

RC-Glied/RC-network:
 $R \geq 10 \Omega$
 $C \leq 1 \mu\text{F}$
 $V_{DM} \leq 0,67 V_{DRM}$

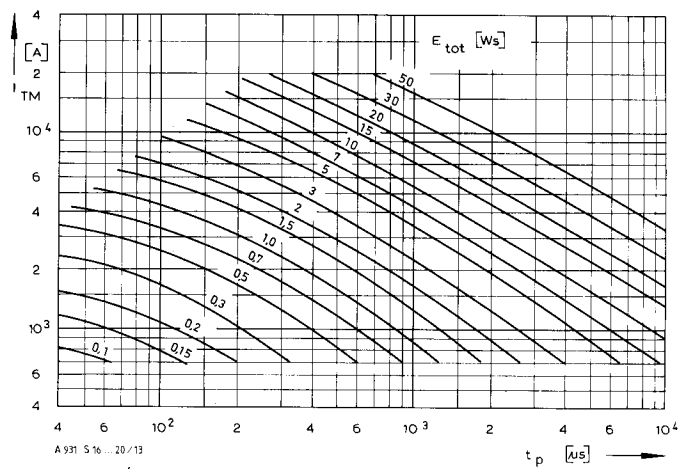
Bild/Fig. 4, 5, 6
 Steuergenerator/pulse generator:
 $i_G = 4 \text{ A}$, $di_G/dt = 8 \text{ A}/\mu\text{s}$

RC-Glied/RC-network:
 $R \geq 10 \Omega$
 $C \leq 1 \mu\text{F}$
 $V_{DM} \leq 0,67 V_{DRM}$

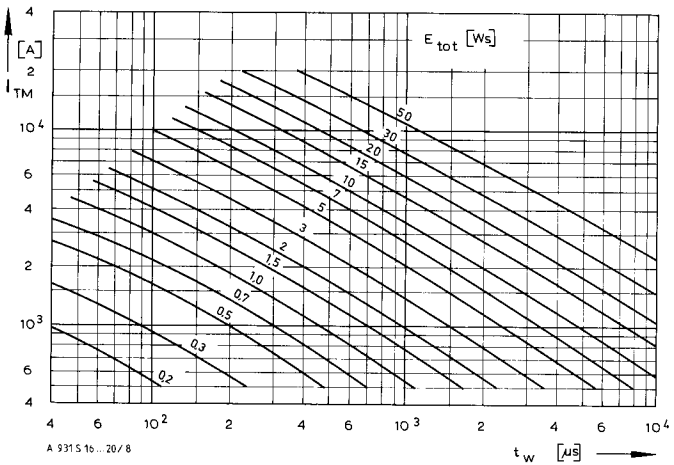




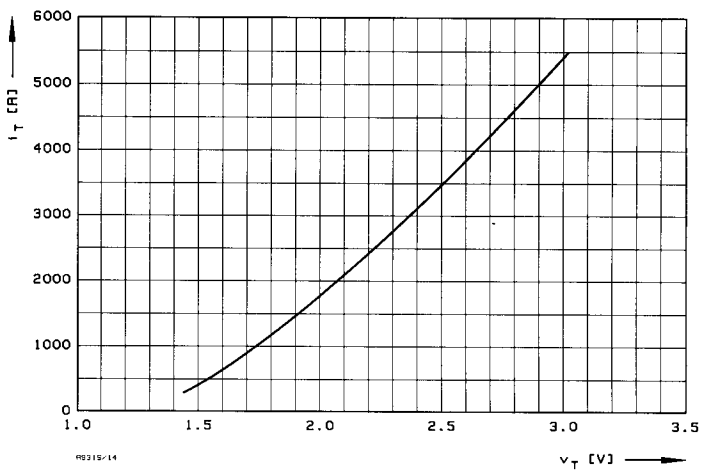
Bild/Fig. 7



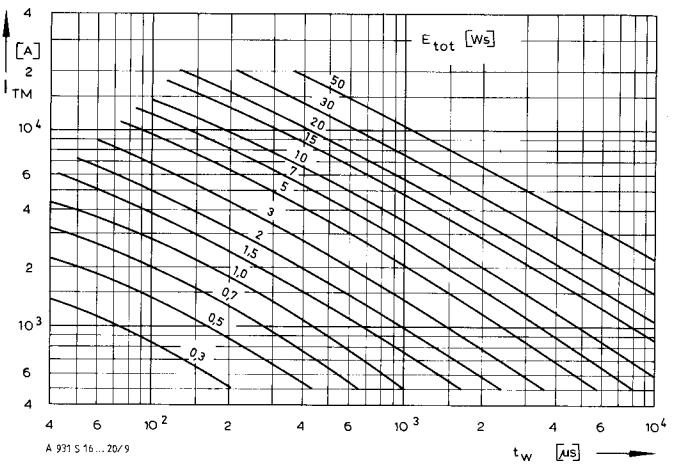
Bild/Fig. 13



Bild/Fig. 8



Bild/Fig. 14



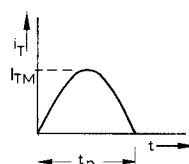
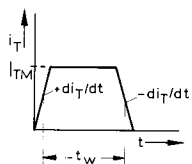
Bild/Fig. 9

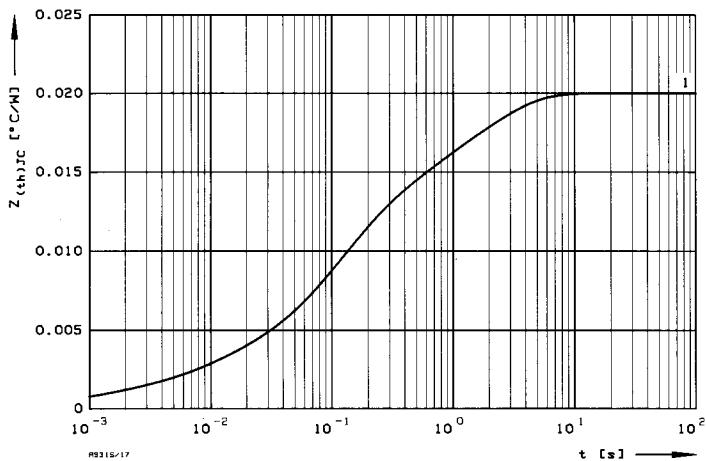
Bild/Fig. 7, 8, 9
Steuergenerator/pulse generator:
 $I_G = 4 \text{ A}$, $di_G/dt = 8 \text{ A}/\mu\text{s}$

RC-Glied/RC-network:
 $R \geq 10 \Omega$
 $C \leq 1 \mu\text{F}$
 $V_{DM} \leq 0,67 V_{DRM}$
 $V_{RM} \leq 15 \text{ V}$

(zu Bild/to Fig. 13)
Steuergenerator/pulse generator:
 $I_G = 4 \text{ A}$, $di_G/dt = 8 \text{ A}/\mu\text{s}$

RC-Glied/RC-network:
 $R \geq 10 \Omega$
 $C \leq 1 \mu\text{F}$
 $V_{RM} \leq 15 \text{ V}$





Bild/Fig. 17
 Transienter innerer Wärmewiderstand $Z_{thJC} = f(t)$, DC
 Transient thermal impedance $Z_{thJC} = f(t)$, DC
 1 Beidseitige Kühlung/two-sided cooling

Analytische Elemente des transienten Wärmewiderstandes Z_{thJC} für DC
 Analytical elements of transient thermal impedance Z_{thJC} for DC

Kühlung	Pos. n	1	2	3	4	5	6	7
beidseitig	R_{thn} [°C/W]	0,0007	0,00175	0,0079	0,00375	0,0059		
two-sided	τ_n [s]	0,0009	0,0074	0,096	0,35	1,94		
anodenseitig	R_{thn} [°C/W]							
anode-sided	τ_n [s]							
kathodenseitig	R_{thn} [°C/W]							
cathode-sided	τ_n [s]							

Analytische Funktion/analytical function:

$$Z_{thJC} = \sum_{n=1}^{n_{max}} R_{thn} (1 - \text{EXP}(-t/\tau_n))$$